

I - 3

せん断変形を考慮した箱げたの曲げねじれ問題の一解析法

山梨大学工学部 正員 深沢泰晴
山梨大学大学院 学生員 河西晴征

1. はじめに

薄肉ばりの曲げねじれ理論においては、断面の反りの断面内分布は Saint Venant のねじりによる反りに比例し、はり軸方向の変化はねじり率によって表わされるものとしている。この仮定は開断面ばりに対しては良い精度を保証するが、閉断面ばりの場合には必ずしも満足な結果を与えるものではないことが知られている。これに対し、断面の反りのはり軸方向の変化をねじり率とは異なる新しい関数で表わす点で特徴的な Benscoter の論文²⁾で代表される理論が、閉断面に対してはより妥当性が高いものと評価され、最近では一般化しつつある²⁾。

ここでは、箱げたの曲げねじれ問題の解析に、その構成要素である個々の板帶に着目し、箱げたをその集合体として捉える手法³⁾を適用した。その際 Benscoter の仮定を採用すらずとも、その仮定のもつ意味の吟味を行なった。この解析方法の適用の結果として、箱げたの断面の諸定数を構成板帶の諸定数の和で表わすことができ、実際計算に非常に便利な表式が得られた。さらに、数種の代表的な閉断面形をもつ箱げたについて、このような解析にもとづいて得られた結果を、断面の反りのはり軸方向の変化をねじり率によって表わす慣用理論による結果と比較対照し、箱げたの曲げねじれ特性を明らかにしようと試みたものである。

2. 基礎方程式

図-1 に示すように、1.2. . . i . . . n の板帶からなり、また a.b. . . j . . . m のセルをもつ任意形の箱げたを扱う。

まず、i番目の板帶 (*i*-plate) の断面上の任意点 P_i (ξ_i, η_i) の軸方向変位 \tilde{w}_i は次式で表わされる：

$$\begin{aligned} \tilde{w}_i &= w_i - (\beta_i \cos \alpha_i - \gamma_i \sin \alpha_i) u_i \\ &\quad - (\beta_i \sin \alpha_i + \gamma_i \cos \alpha_i) v_i' + \tilde{\tau}_i \beta_i \varphi_i \end{aligned} \quad \dots \quad (1)$$

ここで、 u_i, v_i, w_i は *i*-plate の図心 O_i の x, y, z 方向の変位。

u_i, v_i のダッシュは z に関する微分の意。 $\beta_i, \gamma_i, \alpha_i$ については

図-2 参照。 $\tilde{\tau}_i$ は *i*-plate のせん断流を $\tilde{\tau}_i$ とするとき次式で

表わされる：

$$q_i = G\theta \tilde{\tau}_i, \quad \tilde{\tau}_i = \tilde{\tau}_{i,x} \text{ すなはち } \tilde{\tau}_i \varphi = \tilde{\tau}_{i,z} \quad \dots \quad (2)$$

ここで導入された $\varphi = \varphi(z)$ はねじり率とは異なる新しい関数である。

つぎに、*i*-plate の図心 O_i (x_i, y_i) の変位 (u_i, v_i, w_i) と断面全体の

図心 O の変位 (U, V, W) との間につきの関係を設定する：

$$u'_i = U' - y_i \varphi, \quad v'_i = V' + y_i \varphi, \quad w'_i = W - x_i U' - y_i V' - w_i \varphi \quad \dots \quad (3)$$

ここで w_i は Saint Venant のねじりによって O_i 点に生ずる反りを表わす。

式 (3) を式 (1) に代入すると、

$$\tilde{w}_i = W - (x_i + \beta_i \cos \alpha_i - \gamma_i \sin \alpha_i) U' - (y_i + \beta_i \sin \alpha_i + \gamma_i \cos \alpha_i) V' - \{w_i + (k_{xi} - \tilde{\tau}_i) \beta_i + k_{yi} \gamma_i\} \varphi \quad \dots \quad (4)$$

ここに、

$$k_{xi} = \beta_i \sin \alpha_i - \gamma_i \cos \alpha_i, \quad k_{yi} = \beta_i \cos \alpha_i + \gamma_i \sin \alpha_i \quad (\text{図-2 参照})$$

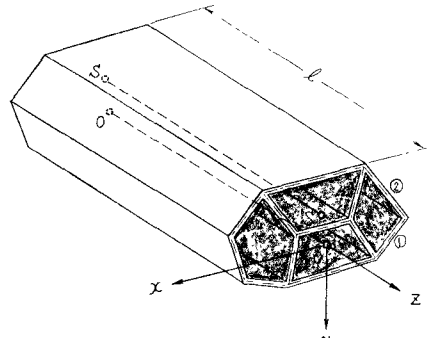


図-1 箱げたの一般図

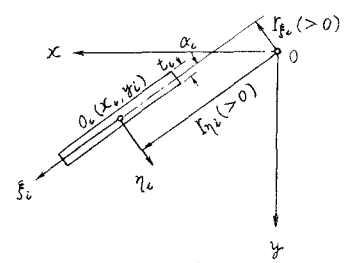


図-2 *i*-plate

断面上の任意点 P_i における軸方向の垂直歪 $\tilde{\epsilon}_{zi}$ は式(4)より

$$E_{xi} = w' - (x_i + \bar{z}_i \cos\delta_i - \bar{y}_i \sin\delta_i) U'' - (y_i + \bar{z}_i \sin\delta_i + \bar{x}_i \cos\delta_i) V'' - \{w_i + (\bar{k}_{xi} - \bar{\tau}_i) \bar{z}_i + \bar{k}_{yi} \bar{y}_i\} \vartheta' \quad \dots \quad (5)$$

一方、ねじりによる Σz_i 面内のせん断歪 $\tilde{\epsilon}_{ji}$ はねじりによる P_{ji} 点の z_i 軸方向の変位 $\tilde{u}_{P_{ji}} = t_{P_{ji}}\varphi$ と式(4)のうちのねじりによる分 $\tilde{w}_i = \{w_i + (t_{P_{ji}} - \tilde{t}_i)\}z_i + L_k \eta_i\}$ とを用いて

$$\tilde{Y}_{j,i} = \frac{\partial \tilde{U}_{j,i}}{\partial \tilde{x}} + \frac{\partial \tilde{W}_i}{\partial \tilde{x}} = L_{j,i} y' - (L_{j,i} - \tilde{L}_i) \vartheta \quad \dots \dots \dots \dots \dots \dots \dots \quad (6)$$

ここに、 φ は断面のねじれ回転角を表す。

以上より箱げた全体に蓄えられる歪エネルギー Π は曲げに伴なラせん断歪分を無視して次式で与えられる：

$$\begin{aligned} \pi_1 = & \frac{1}{2} \sum_{k=1}^n \int_{F_k}^L (E \ddot{x}_k^2 + G \ddot{y}_k^2) dF_k dz = \frac{1}{2} \int_0^L [E J_y u'^2 + E J_x v'^2 + 2 E J_{xy} u'v' + E C_w \vartheta'^2 \\ & + 2 E C_x v'^\vartheta' + 2 E C_y u'^\vartheta' - 2 G (J_x - J_y) \vartheta \varphi' + G J_x \varphi'^2 + (G J_x - J_y) \vartheta^2 + E F w'^2] dz \quad (7) \end{aligned}$$

$$\left. \begin{aligned} F &= \sum_{i=1}^n F_i, \quad J_x = \sum_{i=1}^n (F_i y_i^2 + J_{y_i} \sin^2 \alpha_i + J_{z_i} \cos^2 \alpha_i), \quad J_y = \sum_{i=1}^n (F_i x_i^2 + J_{y_i} \cos^2 \alpha_i + J_{z_i} \sin^2 \alpha_i) \\ J_{xy} &= \sum_{i=1}^n \{F_i x_i y_i + (J_{y_i} - J_{z_i}) \sin \alpha_i \cos \alpha_i\}, \quad C_x = \sum_{i=1}^n \{F_i w_i y_i + (J_{y_i} - \tilde{J}_x) J_{y_i} \sin \alpha_i + I_{y_i} J_{z_i} \cos \alpha_i\} \\ C_y &= \sum_{i=1}^n \{F_i w_i x_i + (I_{y_i} - \tilde{J}_x) J_{y_i} \cos \alpha_i - I_{y_i} J_{z_i} \sin \alpha_i\}, \quad C_w = \sum_{i=1}^n \{F_i w_i^2 + (I_{y_i} - \tilde{J}_x)^2 J_{y_i} + I_{y_i}^2 J_{z_i}\} \\ J_x &= \sum_{i=1}^n F_i k_{xi}^2, \quad J_T = \sum_{i=1}^n F_i k_{xi} \tilde{J}_x \end{aligned} \right\} \dots \dots \dots \quad (8)$$

断面の図心Oの変位(u, v)とせん断中心S(x_s, y_s)の変位(u^*, v^*)との関係 $u'' = u^{**} + y_s \alpha$ および $v'' = v^{**} - x_s \alpha$ を用ひ、荷重として断面の図心Oに作用する g_x 、せん断中心Sに作用する g_x^*, g_y^* 、 m_x^*, m_y^* を考えると、系の全ポテンシャルエネルギー Π^* はつぎのように表わされる。

$$\Pi^* = \frac{1}{2} \int_0^L [E J_y U^{*2} + E J_x V^{*2} + 2 E J_{xy} U^{*}V^{*} + E G_w^* \vartheta'^2 - 2 G (J_x - J_T) \vartheta g' + G J_x g'^2 + G (J_x - J_T) \vartheta^2 + E F w'^2 - 2 (f_x^* U^* + f_y^* V^* + f_z^* w + M_x^* g + M_w^* \vartheta)] dz \quad \dots \quad (4)$$

$$C_w^* = C_w + J_x x_s^2 + J_y y_s^2 - 2 J_{xy} x_s y_s - 2 C_x x_s + 2 C_y y_s = C_w - C_x x_s + C_y y_s \quad \dots \dots \dots \quad (10)$$

式(9), (10)においてせん断中心の座標を与える次式が考慮されてい�:

$$C_x^* = C_x - J_x \chi_d + J_{xy} y_d = 0 \quad , \quad C_y^* = C_y + J_y y_d - J_{xy} \chi_d = 0 \quad \dots \dots \dots \dots \dots \dots \dots \quad (11)$$

式(9)より変分問題のオイラーの微分方程式として得られる基礎方程式のうち、ねじりに関するもののみ記せば

$$GJ_T \varphi'' - G(J_T - J_T) \varphi' + m^*_w = 0, \quad F(\omega) \varphi'' + G(J_T - J_T)(\varphi' - \varphi) - m^*_w = 0 \quad \dots \dots \dots \quad (12)$$

これは文献 2) のものと全く一致する。両式より α を消去すれば

$$\varphi''' - \frac{\alpha^2}{\ell^2} \varphi'' = \frac{m_z^* + m_w^{*+}}{\kappa E c_w^*} - \frac{m_z^{***}}{G J_F} \quad \dots \quad (12)$$

$$\text{因此, } \alpha = l \sqrt{\frac{G J_T}{\kappa E C_w^*}}, \quad \kappa = \frac{J_L}{J_L - J_T}$$



$$\begin{array}{ll} \chi = 8611 & \chi = 4754 \\ d_0 = 67.83 & d_0 = 33.82 \\ \alpha = 23.13 & \alpha = 15.81 \end{array}$$

3. 数値計算結果の一例

代表的な4種の箱げた断面について、曲げねじれの度合を表わす

無次元パラメーター μ とその補正係数 $\frac{1}{\sqrt{\mu}}$ の一例を図-3に示す。

$\frac{1}{\sqrt{K}}$ はセルの数の少ない程 1 に較べて小さな値をとり、それだけみは減少し、したがって曲げねじれ現象は慣用理論による結果よりも

やや強まるこことになる。図-3で $\alpha_0 = \sqrt{\frac{GJ}{Ec_0}}$, すなはち $\alpha = \frac{\alpha_0}{\sqrt{\kappa}}$ 。図-3 各種掛けたの w -図と K, d, α の値



$$\begin{array}{ll} K = 7.264 & K = 1.875 \\ \alpha_0 = 49.83 & \alpha_0 = 9.97 \end{array}$$

参考文献 1) S. U. Benscoter : A Theory of Torsion Bonding for Multicell Beams. *Journal of Applied Mech.*, March, 1954.

22 C. F. Kollrunner & N. Hajdin : Dünnewandige Stäbe. Springer, 1972. 3) 深沢・内田：土木学会講演概要集 第48回 10